

# 応用数値解析特論 第4回

～Poisson 方程式に対する Ritz-Galerkin 法 (2), 1 次元有限要素法 (1)

～

かつらだ まさし  
桂田 祐史

<https://m-katsurada.sakura.ne.jp/ana2024/>

2024 年 5 月 7 日

# 目次

- ① 本日の内容・連絡事項
- ② Poisson 方程式の境界値問題に対する Ritz-Galerkin 法 (続き)
  - Galerkin 法 (続き)
    - 連立 1 次方程式の一意可解性
  - Ritz 法
    - 問題  $(\hat{V}')$
    - 誤差最小の原理
    - 古典的 Ritz-Galerkin 法
    - 新しい Ritz-Galerkin 法としての有限要素法
- ③ 1 次元の有限要素法
  - モデル問題とその弱定式化
  - 有限要素解の定義
    - 有限要素への分割
    - 区分的 1 次多項式の空間の基底関数
    - 有限要素空間, 有限要素解
    - 蛇足の話
- ④ 参考文献

# 本日の内容・連絡事項

- 今日は Ritz-Galerkin 法の続き。Ritz 法から。Ritz-Galerkin 法が終わると、FreeFem++ のプログラムがとりあえず理解できる…かな？？
- 前回の最後の部分のスライドをつけておく。 $\Gamma_1 \neq \emptyset$  という条件について補足するため。
- 1 次元有限要素法に入る。直接剛性法の説明をするのが主な目的である。

## 補題 4.1 (Galerkin 法の一意可解性)

$\Gamma_1 \neq \emptyset$  で、 $\{\psi_i\}$  は 1 次独立とする。このとき  $A$  は正値対称である。ゆえに Galerkin 法の連立 1 次方程式は一意可解である。

**復習** 実対称行列  $A$  に対して、 $A$  が正値  $\stackrel{\text{def.}}{\Leftrightarrow} A$  の固有値がすべて正 ( $\Leftrightarrow (\forall \mathbf{x} \in \mathbb{R}^m \setminus \{\mathbf{0}\}) \mathbf{x}^\top A \mathbf{x} > 0$ ). 特に正値対称行列は正則である。

( $\{\psi_j\}$  を 1 次独立に取るのは、基底とするために当然である。一方、 $\Gamma_1 \neq \emptyset$  は、もとの問題の解の一意性のために必要であるから、これも自然な条件である。)

**証明**  $A$  の対称性 ( $\langle \psi_i, \psi_j \rangle = \langle \psi_j, \psi_i \rangle$ ) は明らかである。 $A$  の正値性を示す。任意の  $\mathbf{b} = (b_1 \cdots b_m)^\top \in \mathbb{R}^m \setminus \{\mathbf{0}\}$  に対して

$$\hat{v} := \sum_{j=1}^m b_j \psi_j$$

とおくと、 $\psi_j$  の 1 次独立性から  $\hat{v} \neq 0$  であり、実は  $\|\hat{v}\| > 0$  である。

( $\because$  もしも  $\|\hat{v}\| = 0$  ならば、 $\|\cdot\|$  の定義から、 $\hat{v}$  は定数関数であるが、 $\Gamma_1 \neq \emptyset$  から、 $\hat{v}$  は少なくとも 1 点 ( $\Gamma_1$  の任意の点) で 0 に等しく、 $\hat{v} \equiv 0$  が導かれ、矛盾が生じる。)

ゆえに

$$0 < \|\hat{v}\|^2 = \left\langle \sum_{j=1}^m b_j \psi_j, \sum_{i=1}^m b_i \psi_i \right\rangle = \sum_{i=1}^m b_i \left( \sum_{j=1}^m \langle \psi_j, \psi_i \rangle b_j \right) = \mathbf{b}^\top A \mathbf{b}$$

となる。従って  $A$  は正値である。 □

### 注意 4.2 (記号 $\mathbf{b}^\top \mathbf{a}$ )

ここで  $\mathbf{b}^\top$  は、縦ベクトル  $\mathbf{b}$  を転置して出来る横ベクトルである。ゆえに  $\mathbf{b}^\top \mathbf{a}$  は、ベクトル  $\mathbf{a}, \mathbf{b} \in \mathbb{R}^m$  の内積に他ならない。この文書では、色々な内積が登場するので、それらを明確に区別するために、記号を使い分けている。同様に  $\mathbb{C}^m$  において、 $\mathbf{b}^* \mathbf{a}$  は  $\mathbf{a}, \mathbf{b}$  の内積である。ここで  $\mathbf{b}^* = \overline{\mathbf{b}^\top}$ .

## 3.2 Ritz 法

### 3.2.1 問題 $(\hat{V}')$

変分問題の有限次元近似版の解を求め、それを元の問題の近似解として採用しよう、というのが **Ritz 法**である。具体的には次の問題を考える。

#### 問題 $(\hat{V})$

$$\text{Find } \hat{u} \in \hat{X}_{g_1} \text{ s.t. } I[\hat{u}] = \min_{\hat{w} \in \hat{X}_{g_1}} I[\hat{w}].$$

前回証明した  $(W)$  と  $(V)$  の同値性と同様に、 $(\hat{W})$  と  $(\hat{V})$  も同値である。つまり、今考えている Poisson 方程式の境界値問題（のような対称性のある）問題では、Galerkin 法と Ritz 法、それぞれによる近似解を定める連立 1 次方程式は同じものである。そこで、**Ritz-Galerkin 法**と呼ばれる。

## 3.2 Ritz 法 3.2.1 問題 ( $\widehat{V}'$ )

ちなみに ( $\sum$  や係数を内積の外に出す、という方針で変形して)

$$\begin{aligned} I[\hat{u}] &= \frac{1}{2} \|\hat{g}_1\|^2 + \sum_{i=1}^m a_i \langle \hat{g}_1, \psi_i \rangle + \frac{1}{2} \sum_{i,j=1}^m a_i a_j \langle \psi_i, \psi_j \rangle - (f, \hat{g}_1) \\ &\quad - \sum_{i=1}^m a_i (f, \psi_i) - [g_2, \hat{g}_1] - \sum_{i=1}^m a_i [g_2, \psi_i] \end{aligned}$$

となる。これから極値の条件は<sup>1</sup>

$$0 = \frac{\partial I[\hat{u}]}{\partial a_i} = \langle \hat{g}_1, \psi_i \rangle + \sum_{j=1}^m a_j \langle \psi_j, \psi_i \rangle - (f, \psi_i) - [g_2, \psi_i] \quad (i = 1, 2, \dots, m).$$

これは、もちろん (?) Galerkin 法で得た連立 1 次方程式と同じである。

<sup>1</sup>  $\frac{\partial}{\partial a_i} a_j = \delta_{ij}$  に注意。一般に  $A = (a_{ij}) \in \mathbb{R}^{n \times n}$ ,  $b = (b_i) \in \mathbb{R}^n$ ,  $c \in \mathbb{R}$ ,

$f(x) = \frac{1}{2}(Ax, x) + (b, x) + c$  ( $x \in \mathbb{R}^n$ ) とするとき、 $\nabla f(x) = \frac{1}{2}(A + A^\top)x + b$  となる。特に  $A$  が対称ならば  $\nabla f(x) = Ax + b$ . 1 変数の  $(\frac{1}{2}ax^2 + bx + c)' = ax + b$  の拡張。

やってみよう  $\nabla\left(\frac{1}{2}(Ax, x) + (b, x) + c\right) = \frac{1}{2}(A^\top + A)x + b$

微積分の授業などで聴いたことがあるかもしれないが、その覚えがなければ、多変数 2 次関数の微分をやってみることを勧める。

$$\begin{aligned}\frac{1}{2}(Ax, x) + (b, x) + c &= \frac{1}{2} \sum_{i,j=1}^n a_{ij}x_i x_j + \sum_{i=1}^n b_i x_i + c \\ &= \frac{1}{2} \sum_{k,j=1}^n a_{kj}x_k x_j + \sum_{k=1}^n b_k x_k + c.\end{aligned}$$

これを  $x_i$  で偏微分すると？（スライド PDF の末尾を見よ。）

### 3.3 誤差最小の原理

#### 定理 4.3 (誤差最小の原理)

Ritz–Galerkin 解  $\hat{u}$  は  $\hat{X}_{g_1}$  の中で (ある意味で) 最も  $u$  に近い。すなわち

$$\|\hat{u} - u\| = \min_{\hat{w} \in \hat{X}_{g_1}} \|\hat{w} - u\|.$$

(授業では、証明の前に、 $u$  から超平面  $\hat{X}_{g_1}$  への射影  $\hat{u}$  の図を板書する。)

### 3.3 誤差最小の原理

証明 まず  $\hat{u}$  は、 $u$  から  $\hat{X}_{g_1}$  に下ろした垂線の足（正射影）であることを示す。  
弱形式

$$\begin{aligned}\langle u, v \rangle &= (f, v) + [g_2, v] \quad (v \in X), \\ \langle \hat{u}, \hat{v} \rangle &= (f, \hat{v}) + [g_2, \hat{v}] \quad (\hat{v} \in \hat{X})\end{aligned}$$

から ( $\hat{X} \subset X$  に注意して)

$$\langle \hat{u} - u, \hat{v} \rangle = 0 \quad (\hat{v} \in \hat{X}).$$

任意の  $\hat{w} \in \hat{X}_{g_1}$  に対して、 $\hat{u} - \hat{w} \in \hat{X}$  ゆえ、 $\hat{v}$  のところに  $\hat{u} - \hat{w}$  を代入して  
( $\hat{u}$  は垂線の足)  $\langle \hat{u} - u, \hat{u} - \hat{w} \rangle = 0.$

ゆえにピタゴラスの定理の等式

$$\|\hat{w} - u\|^2 = \|\hat{w} - \hat{u} + \hat{u} - u\|^2 = \|\hat{w} - \hat{u}\|^2 + \|\hat{u} - u\|^2$$

が成り立つ。これから

$$\|\hat{u} - u\| \leq \|\hat{w} - u\|$$

を得る。 □

### 3.4 古典的 Ritz-Galerkin 法

実際に問題を解くとき、 $\{\psi_i\}$  を適当に選ばなければならない。古典的な Ritz-Galerkin 法では、基底関数として、微分方程式の主要部の微分作用素の固有関数などを使用する。

#### 例 4.4 (常微分方程式の境界値問題に対する Ritz-Galerkin 法)

次の常微分方程式 (1 次元 Poisson 方程式?) の境界値問題を考えよう。

$$(1) \quad \begin{cases} -u'' = f & (0 < x < 1) \\ u(0) = u(1) = 0 \end{cases}$$

ここで  $f$  は開区間  $(0, 1)$  上定義された既知関数である。

$\Omega = (0, 1)$ ,  $\Gamma_1 = \Gamma = \{0, 1\}$ ,  $\Gamma_2 = \emptyset$ ,  $g_1 = 0$  である。

$\hat{g}_1 = 0$  とするのが自然である。 $\hat{X}_{g_1} = \hat{X} := \text{Span}\{\psi_1, \dots, \psi_m\}$  となる。

$$\psi_j(x) := \sin(j\pi x) \quad (1 \leq j \leq m)$$

とおくと  $\psi_j(0) = \psi_j(1) = 0$  すなわち  $\psi_j = 0$  on  $\Gamma_1$  ( $1 \leq j \leq m$ ) であり、1 次独立である (直交性から容易に証明できる)。

$\hat{u} \in \hat{X}_{g_1}$  は、次のように表せる。

$$(2) \quad \hat{u}(x) = \sum_{j=1}^m a_j \psi_j(x).$$

## 例 4.4 (区間における Ritz-Galerkin 法 (続き))

$\Gamma_2 = \emptyset$  であるから、 $[g_2, \cdot]$  という項は不要で、弱形式は

$$\langle \hat{u}, \hat{v} \rangle = (f, \hat{v}) \quad (\hat{v} \in \hat{X}).$$

さて

$$\langle \psi_j, \psi_i \rangle = (\psi'_j, \psi'_i) = ij\pi^2 \int_0^1 \cos(j\pi x) \cos(i\pi x) dx = \frac{1}{2} ij\pi^2 \delta_{ij}$$

であるから

$$A = (\langle \psi_j, \psi_i \rangle) = \frac{\pi^2}{2} \begin{pmatrix} 1 & & & & 0 \\ & 4 & & & \\ & & 9 & & \\ & & & \ddots & \\ 0 & & & & m^2 \end{pmatrix}.$$

これは対角行列であるから、逆行列は一目で

$$A^{-1} = \frac{2}{\pi^2} \begin{pmatrix} 1 & & & & 0 \\ & 1/4 & & & \\ & & 1/9 & & \\ & & & \ddots & \\ 0 & & & & 1/m^2 \end{pmatrix}.$$

## 例 4.4 (区間における Ritz-Galerkin 法 (続き))

ゆえに

$$\mathbf{a} = A^{-1}\mathbf{f} = \frac{2}{\pi^2} \begin{pmatrix} 1 & & & & 0 \\ & 1/4 & & & \\ & & 1/9 & & \\ & & & \ddots & \\ 0 & & & & 1/m^2 \end{pmatrix} \begin{pmatrix} (f, \psi_1) \\ (f, \psi_2) \\ (f, \psi_2) \\ \vdots \\ (f, \psi_m) \end{pmatrix},$$
$$(f, \psi_i) = \int_0^1 f(x) \sin(i\pi x) dx.$$

ゆえに

$$(3) \quad a_i = \frac{2}{\pi^2} \frac{1}{i^2} \int_0^1 f(x) \sin(i\pi x) dx \quad (i = 1, 2, \dots, m).$$

念のためもう一度書いておく。

$$(再掲 2) \quad \hat{u}(x) = \sum_{j=1}^m a_j \sin(j\pi x).$$

(2), (3) で定まる  $\hat{u}$  が問題 (1) の Ritz-Galerkin 解である。

（次回予習）

## 例 4.4 (区間における Ritz-Galerkin 法 (続き))

以上を振り返って

- Fourier 級数に慣れていれば、(Ritz-Galerkin 法を知らなくても) (2), (3) を導くのは簡単である (やってみよう)。
- $\psi_j$  は、同次 Dirichlet 条件を課した微分作用素  $-\left(\frac{d}{dx}\right)^2$  の固有関数である。これは“対称な作用素”であるため、直交性

$$i \neq j \Rightarrow (\psi_i, \psi_j) = 0$$

が成り立つ。さらに

$$i \neq j \Rightarrow \langle \psi_i, \psi_j \rangle = 0$$

が成り立ち、係数行列  $A$  が対角行列となって、計算が簡単になっている。

### 3.4 古典的 Ritz-Galerkin 法

以下は 2 次元バージョン。時間があれば (同じことだから)。

#### 例 4.5 (正方形領域における Ritz-Galerkin 法)

正方形領域  $\Omega = (0, 1) \times (0, 1)$  において、Poisson 方程式  $-\Delta u = f$  に同次 Dirichlet 境界条件を課した境界値問題を考える ( $\Gamma_1 = \Gamma$ ,  $g_1 = 0$  である)。このとき  $\{\psi_k\}$  として

$$\varphi_{ij}(x, y) = \sin(i\pi x) \sin(j\pi y) \quad (1 \leq i, j \leq m)$$

を採用するのが便利である (ここで  $m \in \mathbb{N}$ )。弱形式は上の例と同様に

$$\langle \hat{u}, \hat{v} \rangle = (f, \hat{v}) \quad (\hat{v} \in \hat{X} := \text{Span}\{\varphi_{ij}\}).$$

である。後のための準備として

$$\langle \varphi_{k\ell}, \varphi_{ij} \rangle = \frac{\pi^2}{4} (ki + \ell j) \delta_{ki} \delta_{\ell j} \quad (1 \leq i, j, k, \ell \leq m)$$

さて

$$\hat{u} = \sum_{k=1}^m \sum_{\ell=1}^m a_{k\ell} \varphi_{k\ell}$$

とおくと、

（つづき）

## 例 4.5 (正方形領域における Ritz-Galerkin 法)

$$\begin{aligned}\langle \hat{u}, \varphi_{ij} \rangle &= (f, \varphi_{ij}) \quad (1 \leq i, j \leq m) \Leftrightarrow \sum_{k=1}^m \sum_{\ell=1}^m a_{k\ell} \langle \varphi_{k\ell}, \varphi_{ij} \rangle = (f, \varphi_{ij}) \quad (1 \leq i, j \leq m) \\ &\Leftrightarrow a_{ij} \langle \varphi_{ij}, \varphi_{ij} \rangle = (f, \varphi_{ij}) \quad (1 \leq i, j \leq m) \\ &\Leftrightarrow a_{ij} = \frac{4}{\pi^2(i^2 + j^2)} (f, \varphi_{ij}) \quad (1 \leq i, j \leq m).\end{aligned}$$

例えば  $f \equiv 1$  (定数関数) である場合、

$$\begin{aligned}(f, \varphi_{ij}) &= \int_0^1 \int_0^1 \sin(i\pi x) \sin(j\pi y) dx dy = \frac{[(-1)^{i+1} + 1] [(-1)^{j+1} + 1]}{ij\pi^2} \\ &= \begin{cases} \frac{4}{ij} & (i, j \text{ が共に奇数}) \\ 0 & (\text{それ以外}). \end{cases}\end{aligned}$$

ゆえに

$$a_{ij} = \begin{cases} \frac{16}{ij(i^2 + j^2)\pi^4} & (i, j = 1, 3, 5, 7, \dots). \\ 0 & (\text{それ以外}). \end{cases}$$

### 3.4 古典的 Ritz-Galerkin 法

ここで古典的 Ritz-Galerkin 法の特徴を列挙しておこう。

- ① 基底関数として固有関数を使うため、適用範囲が狭い。
- ② Neumann 境界条件の処理が楽。

…以上は有限要素法のテキスト（菊地 [1]）に書いてあったことであるが、次のことでもぜひ指摘しておきたい。

- ③ 適用できる問題に対して、少ない手間（それこそ手計算）で、意外と高精度な解を得ることが出来る。

#### 余談 4.6 (棒の固有値問題)

ずっと以前、私が勤め始めた頃、よその研究室の学生が加藤 [2] の中の例題（棒の振動の固有値問題）を数値計算することを卒業研究のテーマとして与えられて、それに付き合ったことがある。そのときの記録。

「I 君の固有値問題」 (1992/11)

そんな古くさい問題、差分法を使って、コンピューターで解けば楽勝だと未熟な桂田センセイは思ったが、古典的な Ritz-Galerkin 法は優秀で、ましてそれを Mathematica に載せると…という話。ずっと後になって、その 2 次元版（板の固有値問題）に関わるとは…

### 3.5 新しい Ritz-Galerkin 法としての有限要素法

ようやく次回から有限要素法の話に突入する。

有限要素法は、次のような特徴を持つ Ritz-Galerkin 法である。

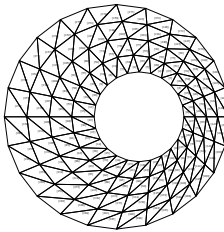
- 領域を

- 1 次元の場合 区間

- 2 次元の場合 三角形, 四角形

- 3 次元の場合 三角錐, 四面体

などの簡単な図形 — 有限要素 (**finite element**) と呼ぶ — に分割する:



$$\overline{\Omega} \doteq \widehat{\Omega} := \bigcup_{k=1}^m e_k \quad (e_k \text{ は有限要素}).$$

### 3.5 新しい Ritz-Galerkin 法としての有限要素法

- 連続な区分的多項式 ( $\hat{\Omega}$  で連続、各有限要素上で多項式に等しいもの) を基底関数に採用する。

ただし、次の図 1 のように、重なりや、すき間、頂点が他の三角形の辺上にあることは避けることにする。各三角形を(有限)要素とよぶ。

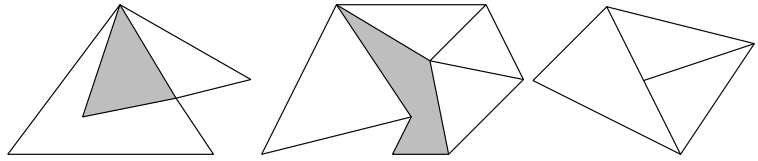


図 1: 重なり、すき間、頂点が他の要素の辺上にある、なんてのはダメ

(有限要素というときは、試行関数、試験関数として、どういう近似関数を用いるかまで考える場合がある。その辺の区別について言及すべきかも。)

# やってみよう の解答

$$\frac{\partial}{\partial x_i}(x_k x_j) = \frac{\partial}{\partial x_i} x_k \cdot x_j + x_k \frac{\partial}{\partial x_i} x_j = \delta_{ik} x_j + x_k \delta_{ij} \text{ であるから}$$

$$\begin{aligned}\frac{\partial}{\partial x_i} \left( \frac{1}{2}(Ax, x) + (b, x) + c \right) &= \frac{1}{2} \sum_{k,j=1}^n a_{kj} \frac{\partial}{\partial x_i} (x_k x_j) + \sum_{k=1}^n b_k \frac{\partial}{\partial x_i} x_k + \frac{\partial}{\partial x_i} c \\&= \frac{1}{2} \sum_{k=1}^n \sum_{j=1}^n a_{kj} (\delta_{ik} x_j + x_k \delta_{ij}) + \sum_{k=1}^n b_k \delta_{ik} + 0 \\&= \frac{1}{2} \left( \sum_{j=1}^n x_j \sum_{k=1}^n a_{kj} \delta_{ik} + \sum_{k=1}^n x_k \sum_{j=1}^n a_{kj} \delta_{ij} \right) + b_i \\&= \frac{1}{2} \left( \sum_{j=1}^n a_{ij} x_j + \sum_{k=1}^n a_{ki} x_k \right) + b_i \\&= \frac{1}{2} \left( Ax \text{ の第 } i \text{ 成分} + A^\top x \text{ の第 } i \text{ 成分} \right) + b \text{ の第 } i \text{ 成分} \\&= \frac{1}{2}(A + A^\top)x + b \text{ の第 } i \text{ 成分.}\end{aligned}$$

ゆえに

$$\nabla \left( \frac{1}{2}(Ax, x) + (b, x) + c \right) = \frac{1}{2}(A + A^\top)x + b.$$

## 4 1 次元の有限要素法

有限要素法が実際に利用されるのは、空間 2 次元, 3 次元の問題がほとんどであるが、ここでは計算手順の概要 (特に**直接剛性法**) を理解するために、1 次元の Poisson 方程式の境界値問題に対する有限要素法の説明を行う。

このすぐ後に説明する 2 次元の場合を分かりやすくするためという趣旨である (いきなり全部やると大変)。

以上は、菊地 [1] を踏襲したものだが、私自身の経験から「分かりやすい」と思っている。

## 4.1 モデル問題とその弱定式化

問題 (P) の 1 次元版である、常微分方程式の境界値問題

$$(4) \quad \begin{cases} -u''(x) = f(x) & (x \in (0, 1)) \\ u(0) = \alpha, \quad u'(1) = \beta \end{cases}$$

を考える。ここで  $f$  は  $(0, 1)$  上定義された既知の関数、 $\alpha$  と  $\beta$  は既知の実定数である。(要するに  $n = 1$ ,  $\Omega = (0, 1)$ ,  $\Gamma = \{0, 1\}$ ,  $\Gamma_1 = \{0\}$ ,  $\Gamma_2 = \{1\}$ ,  $g_1 = \alpha$ ,  $g_2 = \beta$  である。)

$$X_{g_1} := \{w \in H^1(I) \mid w(0) = \alpha\}, \quad X := \{v \in H^1(I) \mid v(0) = 0\},$$

$$\langle u, v \rangle := \int_0^1 u'(x)v'(x) dx, \quad (f, v) := \int_0^1 f(x)v(x) dx$$

とおくと、(4) の弱解とは、弱形式

$$(5) \quad \langle u, v \rangle = (f, v) + \beta v(1) \quad (v \in X)$$

を満たす  $u \in X_{g_1}$  のことである。

## 4.2 有限要素解の定義 要点

要点はすでに予告してある。

有限要素法は区分的多項式を試行関数、試験関数に用いる Ritz-Galerkin 法である。

一般に、 $X_{g_1}$ ,  $X$  の有限次元近似  $\hat{X}_{g_1}$ ,  $\hat{X}$  を定めて、(1つの) Ritz-Galerkin 解が定義される。

区分的多項式というものを定義して、それを用いて適切に  $\hat{X}_{g_1}$ ,  $\hat{X}$  を定めるこ  
とで有限要素解が定義できる。

## 4.2.1 有限要素, 区分1次多項式

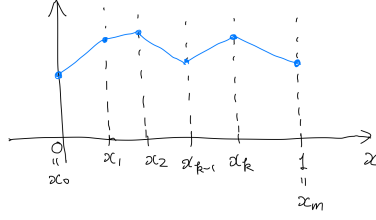
区間  $[0, 1]$  を  $m$  個の小区間に分割する:

$$0 = x_0 < x_1 < x_2 < \cdots < x_m = 1.$$

$x_i$  ( $0 \leq i \leq m$ ) を**節点 (node)** と呼ぶ。

区間  $e_k := [x_{k-1}, x_k]$  ( $k = 1, \dots, m$ ) を**有限要素 (finite element)** と呼ぶ。

区間  $[0, 1]$  全体で連続で、各要素  $e_k$  上で 1 次関数に等しい関数を**区分的1次多項式** と呼び、区分的 1 次多項式の全体を  $\tilde{X}$  と表す。 $\dim \tilde{X} = m + 1$  である。



試行関数 (近似解)  $\hat{u}$ , 試験関数  $\hat{v}$  として、区分的 1 次多項式を採用しよう。言い換えると、試行関数の空間  $\hat{X}_{g_1}$ , 試験関数の空間  $\hat{X}$  は、 $\hat{X}_{g_1} \subset \tilde{X}$ ,  $\hat{X} \subset \tilde{X}$  を満たすよう定める。

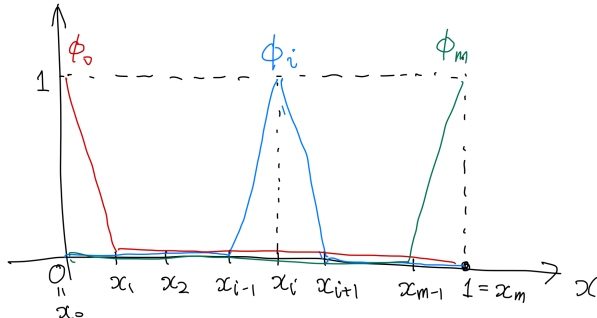
## 4.2.2 区分的1次多項式の空間の基底関数

$\tilde{X}$  の基底関数として、以下に定義する  $\{\phi_i\}_{i=0}^m$  を採用できる。

$\phi_i$  の定義

$\phi_i$  は区分的1次多項式で、 $x_i$  では 1, 他の節点  $x_j$  ( $j \neq i$ ) では 0 という値を取る:

- ①  $\phi_i \in C[0, 1]$
- ②  $(\forall k \in \{1, \dots, m\}) (\exists p, q \in \mathbb{R}) (\forall x \in e_k) \phi_i(x) = px + q$
- ③  $\phi_i(x_j) = \delta_{ij}$  ( $j = 0, 1, \dots, m$ ).



## 4.2.2 区分的1次多項式の空間の基底関数

次の性質が基本的である。

### 補題 4.7 (基底関数 $\phi_i$ の性質)

$w_i \in \mathbb{R}$  ( $0 \leq i \leq m$ ) に対して

$$\hat{w}(x) := \sum_{i=0}^m w_i \phi_i(x)$$

とおくと

$$\hat{w}(x_j) = w_j \quad (0 \leq j \leq m).$$

すなわち  $\phi_j$  の係数  $w_j$  は、節点  $x_j$  における関数值である。

### 証明.

任意の  $j \in \{0, 1, \dots, m\}$  に対して

$$\hat{w}(x_j) = \sum_{i=0}^m w_i \phi_i(x_j) = \sum_{i=0}^m w_i \delta_{ij} = w_j \delta_{jj} = w_j.$$



### 4.2.3 有限要素空間, 有限要素解

試行関数の空間  $\hat{X}_{g_1}$  と試験関数の空間  $\hat{X}$  として、次のものを採用する。

$$\hat{X}_{g_1} := \left\{ \hat{w} \in \tilde{X} \mid \hat{w}(0) = \alpha \right\}, \quad \hat{X} := \left\{ \hat{v} \in \tilde{X} \mid \hat{v}(0) = 0 \right\}.$$

基底関数を用いて表すと

$$(6) \quad \hat{X}_{g_1} = \left\{ \alpha\phi_0 + \sum_{i=1}^m a_i\phi_i \mid a_i \in \mathbb{R} \quad (i = 1, 2, \dots, m) \right\},$$

$$(7) \quad \hat{X} = \left\{ \sum_{i=1}^m a_i\phi_i \mid a_i \in \mathbb{R} \quad (i = 1, 2, \dots, m) \right\}.$$

このとき定まる Ritz-Galerkin 解を  $\hat{u}$  とする。すなわち  $\hat{u}$  は

$$(8a) \quad \hat{u} \in \hat{X}_{g_1},$$

$$(8b) \quad \langle \hat{u}, \hat{v} \rangle = (f, \hat{v}) + \beta \hat{v}(1) \quad (\hat{v} \in \hat{X}).$$

を満たす。この  $\hat{u}$  を区分的 1 次要素 (P1 要素) を用いた **有限要素解** と呼ぶ。

#### 4.2.4 蛇足の話

(実は必要がないのだけれど) 式で書くと、 $1 \leq i \leq m - 1$  に対しては

$$\phi_i(x) = \begin{cases} \frac{x - x_{i-1}}{x_i - x_{i-1}} & (x \in [x_{i-1}, x_i]) \\ \frac{x_{i+1} - x}{x_{i+1} - x_i} & (x \in [x_i, x_{i+1}]) \\ 0 & (\text{その他}), \end{cases}$$

$i = 0$  に対しては

$$\phi_0(x) = \begin{cases} \frac{x_1 - x}{x_1 - x_0} & (x \in [x_0, x_1]) \\ 0 & (\text{その他}), \end{cases}$$

$i = m$  に対しては

$$\phi_m(x) = \begin{cases} \frac{x - x_{m-1}}{x_m - x_{m-1}} & (x \in [x_{m-1}, x_m]) \\ 0 & (\text{その他}). \end{cases}$$

このように式で書けるけれど、そうしてもほとんど使いみちがない。

$\phi_i(x_j) = \delta_{ij}$  を満たす連続な区分的 1 次関数ということと、グラフのイメージを覚えた方がよい。

# 参考文献

- [1] 菊地文雄：有限要素法概説，サイエンス社 (1980)，新訂版 1999.
- [2] 加藤敏夫：変分法，寺沢貫一（編），自然科学者のための数学概論 — 応用編 —，C 編，岩波書店 (1960).